

表 14.11 Nuclepore<sup>TM</sup> 核径迹微过滤膜的典型特性

指定孔径 $\mu\text{m}$	孔径范围 $\mu\text{m}$	公称孔密度 孔/ $\text{cm}^2$	公称膜厚度 $\mu\text{m}$	在 $10\text{lb/in}^2 \Delta P$ 和 70°F 下的典型速率	
				水 gal/(min)( $\text{ft}^2$ )	
8.0	6.9~8.0	$1 \times 10^5$	8.0	144.0	
5.0	4.3~5.0	$4 \times 10^5$	8.6	148.0	
3.0	2.5~3.0	$2 \times 10^6$	11.0	121.0	
1.0	0.8~1.0	$2 \times 10^7$	11.5	67.5	
0.8	0.64~0.80	$3 \times 10^7$	11.6	48.3	
0.6	0.48~0.60	$3 \times 10^7$	11.6	16.3	
0.4	0.32~0.40	$1 \times 10^8$	11.6	17.0	
0.2	0.16~0.20	$3 \times 10^8$	12.0	3.1	
0.1	0.08~0.10	$3 \times 10^8$	5.3	1.9	
0.08	0.064~0.080	$3 \times 10^8$	5.4	0.37	
0.05	0.040~0.050	$6 \times 10^8$	5.4	1.12	
0.03	0.024~0.030	$6 \times 10^8$	5.4	0.006	

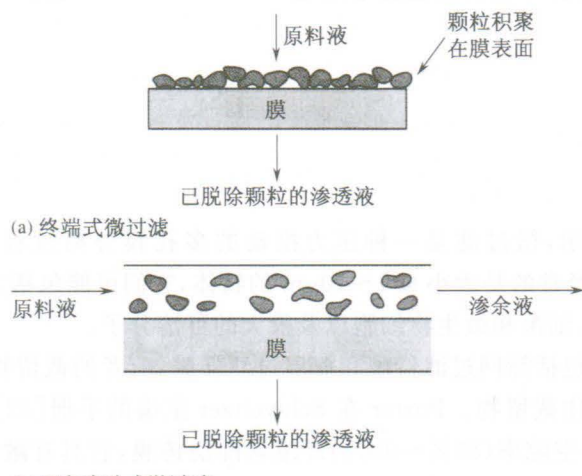


图 14.32 超过滤的普通操作模式

在切向流(错流)微过滤模式(TFF)中, 原料液沿膜表面流动, 仅其中的部分溶剂通过膜, 该模式更适用于大规模连续微过滤。理想情况是已截留的物料被渗余物流带离微过滤器, 切向流模式通常伴有大量渗余物循环, 与连续进料和排放的超过滤相似, 原料—渗余物侧平行于膜表面的切向流速度的典型值是 3~25 ft/s。切向流模式几乎唯一地用于反渗透和超过滤。这已于节 14.5 和节 14.8 中作了讨论。改善切向流过滤(TFF)的有意义的工作使其演变成高性能切向流过滤(HPTFF), 用于分离大分子组分, 在 Van Reis 等[53]的研究中, 应用 HPTFF 分离分子量接近的蛋白质, 在得率和提纯因子方面得到显著改善, 在那里对膜孔尺寸分布、膜化学(膜材料与溶质间的静电作用)、为控制溶液 pH 以得到适当的静电位而使用的溶液缓冲剂、流体动力学(包括错流速度和膜两侧的压力)和级数进行了最佳化。

微过滤的膜组件主要是 DEF 的板框式和 TFF 的褶皱式, 后者将已褶皱的膜包卷在通透的芯管上。许多组件形式是廉价和一次性使用的, 一个典型的一次性使用的过滤芯直径

2.5 in., 长 10 in., 具有膜面积  $3 \text{ ft}^2$ , 过滤芯中可以包括一个用来除去大颗粒的预过滤器, 使多孔微过滤膜用于所需要的分离, 从而延长过滤芯的使用寿命。与 TFF 相比, DEF 具有投资低、操作费用高和操作简单的特点, 它特别适用于稀溶液, 而 TFF 则宜用于浓溶液。

用于计算超过滤的那些方程同样适用于计算 TFF 微过滤, 这包括分批式、连续进料和排放式及重过滤操作模式的。计算 DEF 微过滤的方程是那些用于普通固-液浆料过滤(常被称为滤饼过滤)的方程, 它们的推导如下: 此处仅考虑膜的阻力和截留于膜表面的滤饼(颗粒层)阻力, 在膜内部的任何沉淀物都被忽略, 如同微过滤中渗透压总是被忽略一样, 由于溶质都是大分子量的。

在任一瞬间, 体积渗透速率  $J$  是

$$J = \frac{1}{A_M} \frac{dV}{dt} = \frac{\Delta p}{\mu(R_m + R_c)} \quad (14-99)$$

式中

$\Delta p$ ——穿过滤饼和膜的压降;

$\mu$ ——渗透液黏度;

$R_m$  和  $R_c$ ——分别为膜和滤饼对渗透液的阻力;

$V$ ——渗透液体积;

$A_M$ ——膜面积。

假设膜的阻力是常数, 滤饼可以作为颗粒填充床, 对此可以应用图 6.37 所示的 Ergun 关联式, 在典型的流过滤饼的低雷诺数区间, 压降由 Kozeny - Carman 方程控制, 滤饼阻力为

$$R_c = \frac{150l_c(1-\epsilon_c)^2}{D_p^2\epsilon_c^3} = K_1 \frac{l_c(1-\epsilon_c)^2}{\epsilon_c^3} \quad (14-100)$$

式中

$l_c$ ——滤饼厚度, 随时间增加;

$\epsilon_c$ ——滤饼空隙率;

$D_p$ ——滤饼中颗粒的有效直径;

$K_1$ ——特定过滤系统的实验常数。

原料中将被截留成滤饼的固体物料  $m_c$  为

$$m_c = c_F V = \rho_c (1-\epsilon_c) A_M l_c \quad (14-101)$$

式中  $c_F$  = 单位体积原料液中固体物料量。

将式(14-101)代入式(14-100)消去  $l_c$ , 在将所得的  $R_c$  方程代入式(14-99)得

$$J = \frac{1}{A_M} \frac{dV}{dt} = \frac{\Delta p}{\mu \left[ R_m + K_1 \frac{c_F V (1-\epsilon_c)}{\rho_c A_M \epsilon_c^3} \right]} = \frac{\Delta p}{\mu \left[ R_m + K_2 \frac{c_F V}{A_M} \right]} \quad (14-102)$$

式中  $K_2$ ——特定过滤系统的实验常数。

## 恒速率操作

对于恒定渗透速率  $J$  和相应的恒定渗透物体积流量的操作, 由于滤饼的增厚, 压降将随时增大。式(14-102)中的  $dV/dt = V/t$ , 在  $t=0$  时  $V=0$ , 压降随时间的变化由下式给出:

$$\Delta p = J \mu [R_m + K_2 c_F J t] \quad (14-103)$$

开始时,压降仅取决于膜阻力,即  $\Delta p = J \mu R_m$ ,此后因滤饼厚度增加而随时间线性变化。

## 恒压操作

对于恒压降操作,渗透物流量和相应的渗透速率将随时间而减小,因为滤饼的厚度随时间而增加。对于这种操作,将式(14-102)积分:

$$\int_0^V \left[ R_m + K_2 \frac{c_F V}{A_M} \right] dV = \frac{A_M \Delta p}{\mu} \int_0^t dt \quad (14-104)$$

式(14-104)积分得:

$$R_m V + \frac{K_2 c_F V^2}{2 A_M} = \frac{A_M \Delta p t}{\mu} \quad (14-105)$$

式(14-105)是  $V$  的两次方程,解得的正根是:

$$V = -\frac{R_m A_M}{K_2 c_F} + \frac{A_M}{K_2 c_F} \left[ R_m^2 + \frac{2 K_2 c_F \Delta p t}{\mu} \right]^{\frac{1}{2}} \quad (14-106)$$

对式(14-106)微分得到渗透速率

$$\frac{1}{A_M} \frac{dV}{dt} = J = \frac{\Delta p}{\mu} \left[ R_m^2 + \frac{2 K_2 c_F \Delta p t}{\mu} \right]^{-\frac{1}{2}} \quad (14-107)$$

## 组合操作

如前面提到的,采用组合操作能改善得率,组合操作中(1)在第一阶段采用恒速率操作,直至压降极限值。接着(2)第二阶段进行恒压操作,直至达到最小速率为止。令  $V_{CF}$  = 在用时  $t_{CF}$  的第一阶段中得到的渗透液体积,由于是恒渗透速率,

$$V_{CF} = J A_M t_{CF} \quad (14-108)$$

令  $\Delta p_{UL}$  = 通过滤饼和膜的压降上限。于是对于恒压操作的第二阶段式(14-104)变为

$$\int_{V_{CF}}^V \left[ R_m + K_2 \frac{c_F V}{A_M} \right] dV = \frac{A_M \Delta p_{UL}}{\mu} \int_{t_{CF}}^t dt \quad (14-109)$$

上式积分得到  $V$  的二次方程,求解此方程得到  $V$  的正根:

$$V = -\frac{R_m A_M}{K_2 c_F} + \left[ \frac{A_M^2 R_m^2}{K_2^2 c_F^2} + \frac{2 A_M}{K_2 c_F} \times \left( R_m V_{CF} + \frac{K_2 c_F V_{CF}^2}{2 A_M} + \frac{A_M \Delta p_{UL} (t - t_{CF})}{\mu} \right) \right]^{\frac{1}{2}} \quad (14-110)$$

此处  $V - V_{CF}$  为时间从  $t_{CF}$  到  $t$  的第二阶段中得到的渗透物体积。

将式(14-102)中左端渗透速率定义和中间部分用到式(14-110)得到以下渗透速率式,由此式可见,在第二阶段,渗透物速率随时间而减小。

$$J = \frac{A_M \Delta p_{UL}}{K_2 c_F \mu} \left[ \frac{A_M^2 R_m^2}{K_2^2 c_F^2} + \frac{2 A_M}{K_2 c_F} \times \left( R_m V_{CF} + \frac{K_2 c_F V_{CF}^2}{2 A_M} + \frac{A_M \Delta p_{UL} (t - t_{CF})}{\mu} \right) \right]^{-\frac{1}{2}} \quad (14-111)$$

组合操作的上述方程的应用将于下例中示明。

## 例 14.15

需对含蛋白质浓度  $4.3\text{ g/L}$  的稀释脱脂奶进行微过滤,采用醋酸纤维素膜作了实验,该膜的平均孔径为  $0.45\mu\text{m}$ ,膜面积是  $17.3\text{ cm}^2$ 。对于恒定渗透液流量  $15\text{ mL/min}$  的第一阶段操作,通过滤饼和膜的压降在  $400\text{ s}$  内从  $0.3\text{ psia}$  增加到  $20\text{ psia}$ ,渗透液的黏度是  $1\text{ cP}$ 。如果操作继续进入恒定压降上限的第二阶段操作,直至渗透液流量降到  $5\text{ mL/min}$  时为止。计算需要增加的时间,并分别标绘渗透液体积  $\text{mL}$  和渗透速率  $\text{mL}/(\text{cm}^2 \cdot \text{min})$  与时间  $\text{s}$  间的关系曲线。

解

采用 SI 制,  $c_F = 4.3 \text{ kg/m}^3$ ,  $A_M = 0.00173 \text{ m}^2$ , 第一阶段的体积流量 =  $0.25 \times 10^{-6} \text{ m}^3/\text{s}$ , 在  $t=0$  时,  $p=2068 \text{ Pa}$ , 在  $t=400 \text{ s}$  时,  $p=137900 \text{ Pa}$ ,  $\mu=0.001 \text{ Pa} \cdot \text{s}$ 。根据第一阶段的实验数据,计算  $R_m$  和  $K_2$  于下:

从式(14-103)得

$$R_m = \frac{(t=0 \text{ 时的 } \Delta p)}{J\mu} = \frac{2068}{\left(\frac{0.25 \times 10^{-6}}{0.00173}\right) \times 0.001} \\ = 1.43 \times 10^{10} \text{ m}^{-1}$$

在  $t=400 \text{ s}$  时

$$K_2 = \frac{\Delta p - J\mu R_m}{J^2 \mu c_F t} = \frac{\Delta p - (\Delta p \text{ 在 } t=0)}{J^2 \mu c_F t} \\ = \frac{6895 \times (20 - 0.3)}{\left(\frac{0.25 \times 10^{-6}}{0.00173}\right)^2 \times 0.001 \times 4.3 \times 400} = 3.78 \times 10^{12} \text{ m/kg}$$

假设  $R_m$  和  $K_2$  值在第二阶段不变,在第二阶段末,渗透速率 =  $J = (5\text{ mL/min})/(17.3\text{ cm}^2) = 0.289 \text{ mL} / (\text{min} \cdot \text{cm}^2) = 4.82 \times 10^{-5} \text{ m/s}$ 。

由式(14-111)解得  $t=2025 \text{ s}$ , 渗透液体积和渗透速率对时间的标绘示于图 14.33 和图 14.34 中,它们的数据是应用电子数据表求解第二阶段的时间函数式(14-110)和式(14-111)得到的。

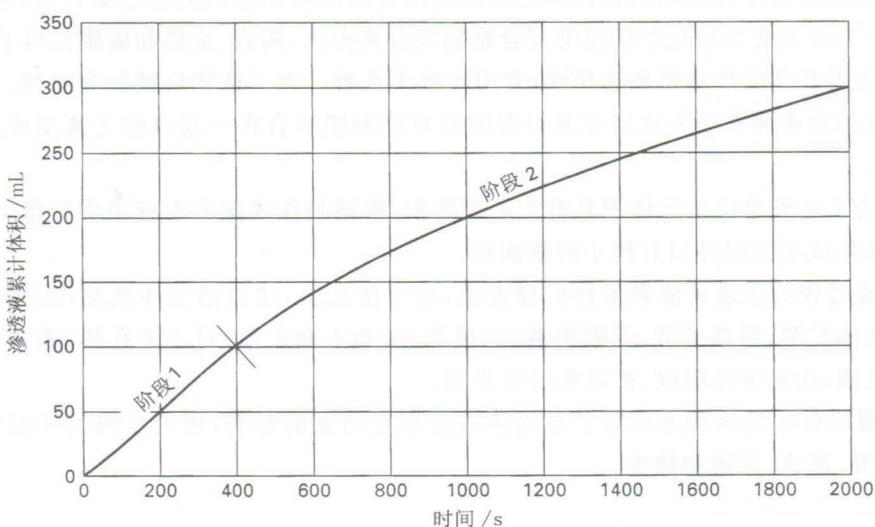


图 14.33 例 14.15 的渗透液累计体积

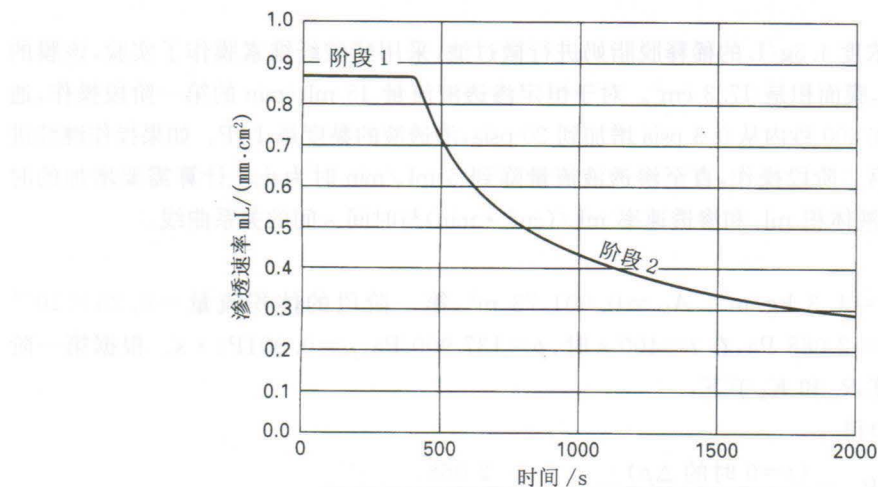


图 14.34 例 14.15 的瞬间渗透速率